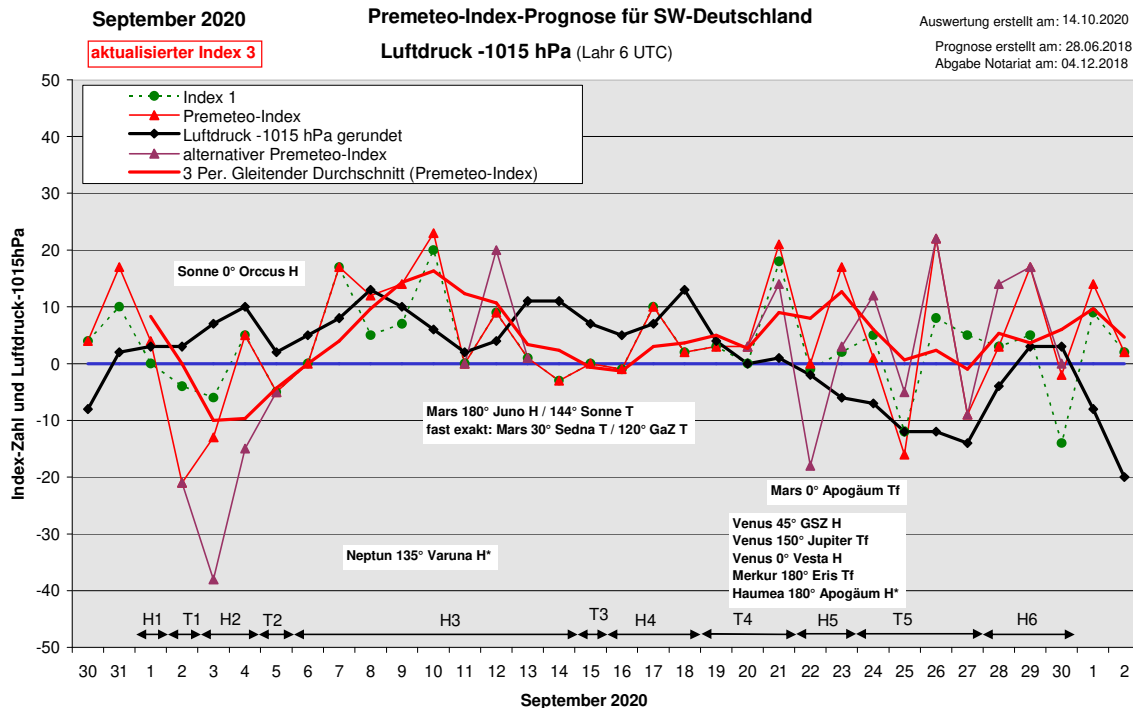


## Wetterlagenverlauf September 2020 im Vergleich zur Premeteo-Indexprognose für Südwest-Deutschland

(Im Diagramm sind über der Datumsachse die real eingetreten Hoch- und Tiefdruckphasen durch Doppelpfeile eingetragen. Ausschlaggebend für die Evaluation ist der tägliche Premeteo-Index, in der dünneren, roten Linie mit Dreieckspunkten dargestellt. Ein negativer Premeteo-Index zeigt die Wahrscheinlichkeit für eine zyklonale Tiefdruckströmung, ein positiver Premeteo-Index die Wahrscheinlichkeit für eine antizyklonale Hochdruckströmung an.

Die Wetterlagenbeschreibungen wurden anhand der Berliner Wetterkarten erstellt. Ausschlaggebend ist die Europa-Bodenkarte um 0 UTC, die feiner skalierte 12 UTC-Karte von Mitteleuropa wird nur bei einem Wetterlagenwechsel für die Einordnung des Tages hinzugezogen. Am Ende des Dokuments befinden sich die Tabellen und Konstellationen, die dem Diagramm zugrunde liegen.)



## Wetterlagenverlauf September 2020 im Vergleich zur Premeteo-Indexprognose für Südwest-Deutschland

(Die Wetterlagenbeschreibungen wurden anhand der Berliner Wetterkarten erstellt.)

**Zusammenfassung:** Der September 2020 war bezüglich der Wetterlagenvorhersage mit 21 richtigen zu 9 falschen Tagen ein durchschnittlich guter Prognosemonat. Auch die Symbolprognose wies nur 3 komplett falsche Tage auf. Ebenso war der mittlere Premeteo-Index bei den real eingetretenen Hochdruckwetterlagen entsprechend der Hypothese positiv und bei den Tiefdruckwetterlagen negativ.

Auffallend war, dass es vom 2. bis zum 23. September wieder eine lange Trockenheitsphase gab, die genau wie im August erst mit dem Impuls der Konjunktion von Mars mit dem Mondapogäum, die als ein starker Tiefdruckaspekt bekannt ist, beendet wurde. So fällt der Hauptniederschlag des Monats zwischen dem Exaktwerden der starken T-Aspekte Mars 0° Apogäum Tf am 23. und Mars 90° Saturn Tf am 29. September. Die Einordnung als Tf-Aspekte weist auf einen starken Regionalbezug der Konstellationen hin, der andere begleitende Aspekte trotz höherer Rangordnung oftmals in den Hintergrund versetzt.

Die höchste Tagesmitteltemperatur für die Bezugsstation Lahr wurde mit 21,7° C am 15. ermittelt, bei Mars 144° Sonne TW / 180° Juno H / 30° Sedna T / 120° GaZ T.

Die beiden kühlest Tage mit Tagesmitteltemperaturen von 9,7°C und 9,8°C konnten am 26. und 27. verzeichnet werden, bei GaZ 135° Apogäum H\* und Orcus 135° Apogäum H\* sowie Venus 135° Chiron TK? / 144° Jupiter Hf / 60° Kn1 W / 120° Eris T, Sonne 144° Uranus T / 60° Varuna T und Juno 30° GSZ H\*.

Der höchste Luftdruck in Lahr 6 UTC trat am 13. und 14. mit 1025,6 hPa und 1025,5 hPa ein, bei Venus 120° Chiron AK, Merkur 30° Orcus H und Mars 180° Juno H / 144° Sonne TW. Der tiefste Luftdruck wurde mit Werten zwischen 1001,3 hPa (27.) und 1003,4 hPa (26.) vom 25. bis 26. September aufgezeichnet, bei Venus 45° Makemake T / 135° Chiron T / 144° Jupiter Hf / 60° Kn1 A / 120° Eris T, Sonne 144° Uranus T / 60° Varuna T, sowie bei GaZ 135° Apogäum H\* und Orcus 135° Apogäum H\*.

### **Beschreibung der einzelnen Wetterphasen:**

**Hochdruckphase 1:** Deutschland lag am 1. September 2020 im flachen Isobarenbereich von Hoch Harald mit Kernen über der Nordsee und Norwegen. Der Premeteo-Index hatte einen Wert von +4.

**Tiefdruckphase 1:** Am 2. überwog für einen Tag der schwache Einfluss der zyklonalen Strömung vom westlichen Mittelmeer und von Tief Natascha über Osteuropa, wobei aber der Premeteo-Index von -21 eine sehr viel stärkere Zyklonalität prognostiziert hatte.

**Hochdruckphase 2:** Entgegen dem Premeteo-Index von -13 setzte sich am 3. über der Südhälfte Deutschlands Hoch Ismail mit Kernen über der Biskaya, Süddeutschland und den Ostalpen durch. Auch am 4. war der Kern des Hochs noch über den Alpen positioniert. Der Premeteo-Index summierte über die 2-tägige Hochdruckphase auf -8.

**Tiefdruckphase 2:** Das Tiefdrucksystem Ottilie II / Natascha mit Kernen über dem Nordmeer und Skandinavien dehnte sich am 5. über ganz Deutschland aus. Der Premeteo-Index hatte einen Wert von -5.

**Hochdruckphase 3:** Am 6. kam es bereits wieder zu einem Vorstoß des Azorenhochs mit einem zweiten Kern Juri über Frankreich. Der Anstieg des Luftdrucks folgte nun dem Verlauf des geglätteten Premeteo-Index. Dabei wanderte der Kern am 7. und 8. über Deutschland und lag am 9. über den Ostalpen. Am 10. wechselte Südwestdeutschland in den Isobarenbereich von Hoch Kevin mit Kernen über Südwestengland und dem Ostatlantik, und am 11. lag die Region in einer flachen Hochdruckbrücke zwischen Hoch Kevin mit Kern über Osteuropa und dem Hoch über dem Ostatlantik. Vom Ostatlantik rückte am 12. Hoch Leiki nach und Südwestdeutschland lag in der flachen Hochdruckbrücke zwischen Hoch Leiki und Hoch Kevin, dessen Kern sich nun über Südwestrussland befand. Hoch Leiki verlagerte seinen Kern zum 13. nach Nordfrankreich, und zugleich gab es einen weiteren Hochdruckkern über den Alpen. Am 14. hatte Hoch Leiki mit seinem Zentrum auch selbst die Ostalpen erreicht. Am 14. zeigte der Premeteo-Index einen flachen, negativen Wert mit Mars 180° Juno H / 144° Sonne T. Wegen den fast-exakten Aspekten Mars 30° Sedna T / 120° GaZ T war die Mars-Juno-H-Opposition nicht angerechnet worden. Es zeigte sich, dass sie offensichtlich den größeren Lokalbezug hatte, als die höherrangigen Mars-Aspekte mit Sedna und dem Galaktischen Zentrum (GaZ). Der Premeteo-Index summierte über die 9-tägige Hochdruckphase auf +73.

**Tiefdruckphase 3:** Am 15. erreichte das Isobarenfeld eines Tiefs über dem Ostatlantik den west- und süddeutschen Raum. Der Premeteo-Index hatte den Wert 0.

**Hochdruckphase 4:** Ein Hoch über Süddeutschland und Hoch Leiki über der Ukraine übernahmen am 16. die Regie, bevor am 17. Hoch Manfred mit Kern über der Nordsee wetterwirksam wurde. Sein Kern lag am 18. über Dänemark. Der Premeteo-Index summierte über die 3-tägige Hochdruckphase auf +11.

**Tiefdruckphase 4:** Tief ex-Alpha über Nordwestspanien erreichte am 19. bei flachem, positiven Index West- und Südwestdeutschland. Sonne 150° Apogäum A / 90° Galaktisches Zentrum H machte sich kaum bemerkbar. Der Luftdruck fiel am 20. bei flachem, positiven Premeteo-Index weiter ab und ein flaches, okkludiertes Tief mit Kernen vor Nordwestfrankreich und über dem Löwengolf bescherte weiterhin ein angenehm sonniges, spätsommerliches Wetter. Auch der 21. blieb weitgehend wolkenlos sonnig, jedoch mit flachen Tiefdruckkernen über Frankreich, dem Golf von Genua und über der Adria. Der Premeteo-Index summierte über die flache Tiefdruckphase mit antizyklonalem Wettercharakter auf +27.

**Hochdruckphase 5:** Am 22. lag um 0 UTC noch ein schwacher Tiefdruckkern über Westdeutschland und trotz weiter leicht fallenden Luftdrucks und Aufzug von Bewölkung

nahm die Strömung bis 12 UTC einen schwach antizyklonalen Charakter an und ließ sich am 23. für die südwestdeutsche Region eher dem schwachen Hochdruckkeil von Iberien über das Mittelmeer kommend zuordnen, als dem Tief über dem Nordmeer, das sich über das restliche Deutschland ausdehnte. Der Premeteo-Index summierte über die 2-tägige Hochdruckphase auf +17.

**Tiefdruckphase 5:** Nach der Trockenheit der letzten drei Wochen wurde mit dem Exaktwerden des starken Tiefdruck-Aspekts Mars 0° Apogäum Tf am 23. wie schon im August ein nachhaltiger Impuls zur Zyklonalisierung gegeben, der am 24. die Region in den Einflussbereich von Tief Wicca-Valentina mit Kernen bei Irland und über der Nordsee bringt. Am 25. lag der Kern von Tief Wicca über dem Ärmelkanal und verlagerte sich zum 26. über die Beneluxländer. Tief Xyla folgte am 27. auf diese Position nach. Der Premeteo-Index summierte über die 4-tägige Tiefdruckphase auf -2.

**Hochdruckphase 6:** Am 28. kam Südwestdeutschland in den schmalen Bereich einer flachen Hochdruckzone zwischen dem Tief Xyla-Youngme mit Kernen über Benelux und Norddeutschland und dem Tief Zora über der Nordadria. Tief Youngme dehnte sich um 0 UTC des 29. vorübergehend bis über Südwestdeutschland aus, doch um 12 UTC hatte sich wieder eine antizyklonale Strömung eingestellt, die am 30. durch Hoch Nepomuk mit Kern über den Schweizer Alpen verstärkt wird. Der Premeteo-Index summierte über die 3-tägige Hochdruckphase auf +18.

SW-D befand sich an 20 Tagen im Einflussbereich antizyklonaler Strömung. Die Summe des prognostizierten Premeteo-Index für diese Tage ergab +115. Dies entsprach einer Indexzahl von +5,75 pro Tag.

An 10 Tagen befand sich SW-D im Einflussbereich zyklonaler Strömung. Die Summe des prognostizierten Premeteo-Index für diese Tage ergab -1. Dies entsprach einer Indexzahl von -0,10 pro Tag.

Die Prognose durch die Premeteo-Wettersymbole war an 3 Tagen falsch (am 3., 23., 29.), an 12 Tagen richtig und an 15 Tagen tendenziell richtig.

Zu den Tabellen



**14.10.2020**  
**September 2020**  
**01.09.2020**



Prognose für SW-Deutschland  
 aktualisierter Index 3

Vom 1. bis 10. **Eris 0° Apogäum A\***, Am 3./4. **Sonne 0° Orcus H.** Vom 6. bis 12. **Juno 0° Haumea H\***, Auslösung unbekannter Aspekte. Vom 13. bis 19. konjunktionsfreie Zeit. Vom 21. bis 26. **Mars 0° Apogäum T.** Am 24. und 25. **Sonne 0° GSZ T** und **Merkur 0° Haumea A**, Auslösung unbekannter Aspekte. Vom 2. bis zum 18. tritt **Mars 30° Sedna TT** im 1° Exakthetsbereich auf, ohne ganz exakt zu werden!  
 Die rot markierten Aspekte im Index 3 sind Aspekte, bei denen der ursprüngliche Konjunktionsplaneten den höheren Rang hat als der Partnerplanet. Das bedeutet, dass der Konjunktionsplanet bei diesen Aspekten immer als Planet 2 auftritt. Diese Aspekte werden ab Januar 2020 nicht mehr angerechnet.

Langsamläufer-Impulse				T*		2H*		T*	H*	2H*	H*
Schnellläufer-Impulse	3T	3T	H	2T				H	T, H	2T, H	T, H
Temperaturimpulse	K?, K	2K	K?	K, W				W?, W*		W	
Premeteo-Index -zyklonal, + antizyklonal (Index 1+2+3)	4	-21	-13	5	-5	0	17	12	14	23	
Pre.IX (ALTERNATIV)			-38	-15							
Index 1 (12 - 12 UTC) exakte Aspekte des Tages	0	-4	-6	5	-5	0	17	5	7	20	
Index 1 (ALTERNATIV)				-4							
Symmetrien (0 - 0 UTC)	Ven 20p Sat Plu (01) A K H +7 Son 45 Ven Jun (07) A K H A (+7)	Ven 91 Eri Hau (00) A A ? --- Son 136 Sat Eri (04) T T A (11,6) -14 GSZ 22 Son Jun (09) H ---	Hau 90 Ven Sat (07) A T*(4/12,4) A K-7 Son 121 Ura Pal (11) T K T A' O / -14 Index 11 K T A' ---	Son 80p Nep Cer (01) H W A --- Nep 80p Son Mer (05) H W A --- Nep 80p Orc Mer (11) ? A --- Var 6 Ven Ves (21) T A' ---	GSZ 4 Mak Mer (03) HP*(3,5/1) H --- Orc 80p Nep Cer (21) ? A' ---	Cer 67 Ura GaZ (01) HP*(4/1,5) ---		Mer 22 Jun Orc (08) H* ? Mer 22 Orc Hau (10) T ? Mer 2 Mak GSZ (10) H H +14 Cer 149 Ven Mer (11) T A A-W-7 Jun 20p Mer Eri (14) H A' +7 Jup 5 Plu Pal (17) H T --- Ven 150 Qua Cer (23) A T A' #	Cer 151 Ven GSZ (18) T A' A-7 Nep 143 Jun Ves (17) H A' W? A' +7	Nep 143 Ves Hau (03) A W? ? A' ---	
Index 2 (12 - 12 UTC)	7	-14	-7	0	0	0	0	7	7	0	
Index 2 ALTERNATIV			-21								
ausgelöste Aspekte (= durch Konjunktions aktivierte Aspekte)	Son 135 Eri T-3	Son 135 Eri T-3	Sat 135 Orc H7 Pal 120 Orc H5 Orc 45 Hau T 0-11	Sat 135 Orc H7 Pal 120 Orc H5 Orc 45 Hau T 0-11		Sat 90 Hau T-7 Orc 45 Hau T-11 Nep 144 Hau ? Hau 60 GaZ ? Hau 60 GaZ ?	Sat 90 Hau T-7 Orc 45 Hau T-11 Nep 144 Hau ? Hau 60 GaZ ? Quao 90 GSZ ?	Sat 90 Hau T-7 Orc 45 Hau T-11 Nep 144 Hau ? Hau 60 GaZ ?	Sat 90 Hau T-7 Orc 45 Hau T-11 Nep 144 Hau ? Hau 60 GaZ ?	Son 144 Eri H3 Sat 90 Hau T-7 Orc 45 Hau T-11 Nep 144 Hau ? Hau 60 GaZ ?	
Index 3 (Summe)	-3	-3	0	0	0	0	0	0	0	3	
Index 3 ALTERNATIV			-11	-11							
Symbol-Prognose	3	5	5	3	3	3	2	2	2	2	
Symbol-Prognose altern.	3	5	5	5	3	3	2	2	2	2	
Wochentag	Di	Mi	Do	Fr	Sa	So	Mo	Di	Mi	Do	
Datum	1	2	3	4	5	6	7	8	9	10	
reale Wetterlage	H1: 3T / +4	T1: 3T / -21	H2: H - T*, 2T / -8		T2: --- / -5	H3: Hf*, 5H*, 9H - T*, 5T / +73					
Luftdruck (hPa) 06 UTC	1017,6	1017,6	1021,8	1024,8	1016,6	1019,7	1022,8	1027,8	1024,8	1020,9	
mittl. Temp.(°C)	15,5	16,4	17,9	20,7	19,5	15,9	14,4	16,1	17,9	18,2	
Sonnenscheindauer (h)	1,6	8,9	10,3	10,9	4,9	2	12	12,1	12,1	4,9	
Niederschlag (Liter)	3,0	0	0	0	0	0	0	0	0	0	
Bodenwetterlage 00 UTC (Kernlage des Druckgebiets, das SW-D beeinflusst)	H mit Kernen ü Nsee u Norw	T ü N-Afrika, T ü O-Eu, schm H-Keil ü Ärmel	H mit Kernen ü Bisk, S-D, O-Alp	H ü Alp	T ü Nm-Skand	Azor-H u H ü F	H ü D	H ü SO-D	H ü Atl u H ü O-Alp	H ü GB	
Bodenströmung 12 UTC zyklonal (z), antizyklonal (a)	a-z	z	a	a	a-z	a-z	a-z	fl a	a-z	fl a	
Strömung auf 500 hPa 00 UTC	N z	NW z	NW fl z	WNW a	SW fl a	W z	SW z	NO fl a	O fl a	SW fl a	
zutreffende Wettersymbole	5 hr	3 hr	2 f	2-3 r	3 r	3-5 hr	2 r	2 r	2 r	2-5 hr	

Übertrag  
 Index 1: +9  
 Index 2: 0

VEN 90 ERI KRE 24°24'29" WID 24°24'30" A	02:36	ERI 0 APO WID 24°24'06" WID 24°24'06" A*	04:42	MER 135 URA JUN 25°33'01" STI 10°33'03" A	02:43	MER 90 GaZ JUN 27°01'48" SCH 27°01'46" T-1	00:07	VES 72 SED LÖW 10°38'08" STI 28°38'08" A*	00:42	JUN 144 NEP WAA 25°41'07" FIS 19°41'07" H* +5	19:26	VEN 144 KN2 LÖW 00°59'38" SCH 24°59'37" A W?	05:18	VES 135 GaZ LÖW 12°01'44" SCH 27°01'45" H* +5	06:58	VEN 144 GaZ LÖW 03°01'44" SCH 27°01'45" T-2	01:58	VEN 135 NEP LÖW 04°35'01" FIS 19°35'02" A	11:54
SON 135 APO JUN 09°18'60" WID 24°19'54" WAA 24°19'53" T K?-3	07:21	MER 30 JUN KRE 28°41'49" JUN 11°41'48" A	09:16	VEN 45 ORC JUN 28°41'49" JUN 11°41'48" A	05:59	SON 120 PAL JUN 12°13'02" STE 12°13'01" T 0/-3	07:16	VEN 60 SED KRE 28°38'08" STI 28°38'08" A	01:10	JUN 90 SAT WAA 25°44'12" STE 25°44'12" H* +10	23:26	MER 0 GSZ WAA 02°20'17" WAA 02°20'17" H-2	06:52	VEN 60 GSZ WAA 02°20'17" WAA 02°20'17" A	10:50	VEN 150 CER FIS 03°07'01" T-4	03:53	VEN 0 VAR LÖW 04°37'26" LÖW 04°37'26" T-4	12:47
SON 135 ERI JUN 09°24'21" WID 24°24'23" T-6	09:34	MER 150 ERI JUN 09°24'21" WID 24°23'57" A	10:14	MER 120 SAT JUN 25°52'32" STE 25°52'31" A	07:24	VEN 90 MAR KRE 27°55'05" WID 27°55'05" A K	09:13	SON 135 MAR JUN 12°58'13" WID 27°58'13" A	01:55		37:59	MER 144 URA WAA 04°27'26" STI 10°27'25" A* W*	15:13	JUN 0 HAU WAA 26°25'09" H* +10	04:15	SON 144 ERI JUN 18°20'17" WID 24°20'18" H+3	14:38		
MER 120 PLU JUN 22°44'27" STE 22°44'27" A	10:43	MER 150 APO JUN 24°26'38" WID 24°26'39" A	10:52	SON 45 EL6 JUN 11°18'31" WAA 26°18'32" A	08:45	VEN 144 CER KRE 28°05'36" FIS 04°05'37" A	13:07				11:50	MER 90 QUA WAA 02°39'56" STE 02°39'56" A	17:15	MER 60 VAR WAA 04°35'21" WAA 05°54'57" H+2	13:48	MER 0 MAK WAA 05°54'57" WAA 05°54'57" H* +11	15:06	JUN 45 ORC WAA 26°52'21" JUN 11°52'21" H* +11	
VEN 30 KN1 KRE 25°16'27" ZWI 25°16'28" T K ---	22:06	VEN 180 SAT KRE 25°54'28" STE 25°54'28" A K	12:19	VEN 150 GaZ KRE 27°01'47" SCH 27°01'46" A	13:25	MER 150 MAR JUN 27°55'53" WID 27°55'53" A	13:16				18:19	VES 30 ORC LÖW 11°48'15" JUN 11°48'15" T* ---	17:56	VEN 150 QUA LÖW 02°39'43" STE 02°39'44" A	15:46	MER 135 VAR FIS 19°36'26" STE 04°36'26" H*(11,3,5) +10	22:25	MER 180 CHI WAA 07°59'32" WID 07°59'31" A	
			12:32	MER 30 EL6 JUN 26°18'46" WAA 26°18'46" T-1	13:43	Ves 90 Ura LÖW 10°31'30" STI 10°31'30" T* -5	18:30				22:34	MER 150 CER WAA 03°22'15" FIS 03°22'15" A	18:17	PAL 150 VES LÖW 12°13'48" LÖW 12°13'48" A	16:55	SON 120 JUP STE 12°13'48" STE 17°25'30" A W			
			14:09	SON 120 URA JUN 10°33'30" STI 10°33'31" T K-3	18:41	SON 0 ORC JUN 11°42'34" JUN 11°42'34" H K? +6/0	20:33	MER 60 VEN JUN 28°25'40" KRE 28°25'40" A W											
			14:32	JUN 180 ERI WAA 24°23'53" WID 24°23'53" A*	22:29	VES 45 KN1 LÖW 10°10'04" ZWI 25°10'04" A*	22:51	JUN 120 KN1 WAA 25°06'50" ZWI 25°06'50" A*											
			19:36	CER 150 VAR FIS 04°28'12" LÖW 04°28'12" A*	23:36	MER 120 SED JUN 28°38'07" STI 28°38'08" A													
			21:06	VEN 90 EL6 KRE 26°17'59" WAA 26°18'00" A															
			22:00	MER 90 KN1 JUN 25°13'19" ZWI 25°13'18" A															
			22:23	SON 135 SAT JUN 10°53'26" STE 25°53'26" T-6															
			22:24	JUN 180 APO WAA 24°29'51" WID 24°29'52" A*															

September 2020



Prognose für SW-Deutschland

aktualisierter Index 3

Vom 1. bis 10. **Eris 0° Apogäum A\***. Am 3./4. **Sonne 0° Orcus H**. Vom 6. bis 12. **Juno 0° Haumea H\***, Auslösung unbekannter Aspekte. Vom 13. bis 19. konjunktionfreie Zeit. Vom 21. bis 26. **Mars 0° Apogäum T**. Am 24. und 25. **Sonne 0° GSZ T** und **Merkur 0° Haumea A**, Auslösung unbekannter Aspekte. Vom 2. bis zum 18. tritt **Mars 30° Sedna Tt** im 1° Exaktheitsbereich auf, ohne ganz exakt zu werden!  
Die rot markierten Aspekte im Index 3 sind Aspekte, bei denen der ursprüngliche Konjunktionsplanet den höheren Rang hat als der Partnerplanet. Das bedeutet, dass der Konjunktionsplanet bei diesen Aspekten immer als Planet 2 auftritt. Diese Aspekte werden ab Januar 2020 nicht mehr angerechnet.

Langsamläufer-Impulse										
Schnellläufer-Impulse	2H	H	H	H, T	T	Hf, H		H	H	H*
Temperaturimpulse	2W, W7*		K	W, K?	K	K	W, K?	K	K	
Premeteo-Index - zyklonal, + antizyklonal (Index 1+2+3)	0	9	1	-3	0	-1	10	2	3	3
Pre.IX (ALTERNATIV)		20								
Index 1 (12 - 12 UTC) exakte Aspekte des Tages	0	9	1	-3	0	-1	10	2	3	0
Index 1 (ALTERNATIV)										
Symmetrien (0 - 0 UTC)		Mak 4 GSZ Mer (00) H?(3,5/1) H --- Chi 2op Mak Mer (05) H?(4/2) A ---		Chi 6op GSZ Mer (13) T?(1/5) A ---	Ven 5 Ves Var (06) H T ---	Mer 71 Var GaZ (08) H T A?(2/1) --- Mer 8op Chi Eri (10) A T ---	Mar 1op Jun Hau (03) H A ---siehe Kommentar oben! Ven 74 Sed Hau (16) ? --- Pal 10 Plu Qua (17) A* T? ---	Eri 5op Jun Mer (16) A* T ---	Nep 7op Son Orc (03) H W ? ? ---	Jun 73 Pal Ves (10) H* A* A* +7 Eri 2op Hau Mer (17) ? T +7/0 Son 9op Nep Chi (23) H W T ---
Index 2 (12 - 12 UTC)	0	0	0	0	0	0	0	0	0	7
Index 2 ALTERNATIV										
ausgelöste Aspekte ( = durch Konjunktionen aktivierte Aspekte)	Sat 90 Hau T-7 Orc 45 Hau T-11 Nep 144 Hau ?* Hau 60 GaZ ?*	Sat 90 Hau T-7 Orc 45 Hau T-11 Nep 144 Hau ?* Hau 60 GaZ ?* Hau 180 Apo H 0+11								Mar 120 GaZ T-4
Index 3 (Summe)	0	0	0	0	0	0	0	0	0	-4
Index 3 ALTERNATIV		11								
Symbol-Prognose	3	3	3	3	3	3	2	3	3	3
Wochentag	Fr	Sa	So	Mo	Di	Mi	Do	Fr	Sa	So
Datum	11	12	13	14	15	16	17	18	19	20
reale Wetterlage					T3: T / 0	H4: Hf, 2H / +11			T4: 2H*, 3H / +27	
Luftdruck (hpa) 06 UTC	1016,9	1019	1025,6	1025,5	1021,9	1019,5	1021,8	1028,1	1019	1015,3
mittl. Temp.(°C)	19,6	19,8	19,5	20	21,7	19,4	19,4	18,7	18	16,9
Sonnenscheindauer (h)	11,7	11,2	11,6	11,5	11,6	10,6	10,6	11,1	8,5	9,8
Niederschlag (Liter)	0	0	0	0	0	0	0	0	0	0
Bodenwetterlage 00 UTC (Kernlage des Druckgebiets, das SW-D beeinflusst)	fl H-Brücke zw H ü O-Alt u H ü O-Eu	Fl H-Brücke zw H ü O-Alt u H ü Alpen	H ü N-F, H ü Alpen	H ü O-Alpen	T ü O-Alt	H ü S-D, H ü Ukrai, T ü S-Skand	H ü Nsee	H ü Däne	T ü NW-Iber, H ü Nsee u O-Eu	okkl T-Syst mi Kernen bei NW-F u. ü LG
Bodenströmung 12 UTC zyklonal (z), antizyklonal (a) Strömung auf 500 hpa 00 UTC	a-z	a-z	a	a-z	a-z	fl a	fl z	a	fl a	fl a
zutreffende Wettersymbole	2 hr	2 hr	2 hr	2 hr	2hr	2 hr	2 r	2 hr	2-3 r	2 hr

JUN 60 GaZ WAA 27°01'44" SCH 27°01'44" A*	03:06	SAT 90 APO STE 25°33'53" WID 25°33'53" A*	12:17	CER 150 GSZ FIS 02°20'18" WAA 02°20'18" A*	01:02	MER 72 KN2 WAA 12°37'56" SCH 24°37'54" A	01:25	VEN 90 URA LÖW 10°18'20" STI 10°18'20" AK	15:30	JUN 150 SED WAA 28°36'33" STI 28°36'34" A*	03:09	VEN 30 ORC LÖW 12°01'36" JUN 12°01'36" A	04:19	VEN 144 NEP LÖW 13°22'01" FIS 19°22'02" H+2	08:53	SON 30 EL6 WAA 26°37'31" WAA 26°37'31" A	02:42	20:28 <b>VES 45 GSZ</b> LÖW 17°20'18" WAA 02°20'18" H* +5
MER 144 CER WAA 08°39'57" FIS 02°39'58" A	09:07	MER 150 URA WAA 10°22'37" STI 10°22'38" H+1	12:35	VEN 120 CHI LÖW 07°53'04" WID 07°53'04" AK	11:26	VES 72 EL6 LÖW 14°31'13" WAA 26°31'12" A*	03:42	MER 72 GaZ WAA 15°01'44" SCH 27°01'43" T-1	17:25	SON 150 ERI JUN 24°17'18" WID 24°17'17" Hf +9	17:15	VEN 135 GaZ LÖW 12°01'42" SCH 27°01'43" A W	04:21	SON 150 APO JUN 26°15'30" WID 26°15'30" A	17:41	VEN 72 EL6 LÖW 14°38'01" WAA 26°38'01" A	11:48	
CER 60 QUA FIS 02°39'24" STE 02°39'24" A*	10:16	JUP 45 CER STE 17°24'25" FIS 02°24'25" A*	16:34	MER 30 ORC WAA 11°56'32" JUN 11°56'33" H+1	14:04	VEN 144 QUA LÖW 08°39'14" STE 02°39'14" A	04:01	MER 60 VES WAA 15°14'59" LÖW 15°14'59" A	21:09	MER 135 CER WAA 16°37'23" FIS 01°37'25" A	20:33	MER 90 JUP WAA 17°26'18" STE 17°26'17" AK?	10:36	MER 150 NEP WAA 19°21'16" FIS 19°21'16" AK	20:07	SON 90 GaZ JUN 27°01'42" SCH 27°01'42" H+3	12:36	
VEN 60 MAK LÖW 05°57'51" WAA 05°57'52" H+2	17:54	MER 90 PAL WAA 12°23'26" STE 12°23'24" A	21:26	<b>MAR 180 JUN</b> WID 28°00'18" WAA 28°00'18" H---	05:28	VEN 72 SED LÖW 10°36'35" STI 28°36'36" A	22:01	SON 90 KN1 JUN 24°28'50" ZWI 24°28'49" AK	21:59	VEN 150 PAL LÖW 12°36'14" STE 12°36'16" A	16:38							
SON 144 APO JUN 19°29'03" WID 25°29'03" A W	18:55				08:50	SON 144 MAR JUN 21°59'46" WID 27°59'46" T W -3		MER 72 VAR WAA 16°44'26" LÖW 04°44'26" H+1	22:34	SON 135 URA JUN 25°15'15" STI 10°15'16" A	17:00							
SON 180 NEP JUN 19°32'47" FIS 19°32'48" H W +6	20:27				17:42	MER 135 SED WAA 13°36'52" STI 28°36'50" A				21:38	SON 120 SAT JUN 25°26'33" STE 25°26'32" A							
NEP 144 VES FIS 19°32'47" LÖW 13°32'48" A* W?*	20:34				23:10	SON 120 PLU JUN 22°34'42" STE 22°34'42" A												
SON 45 VAR JUN 19°39'04" LÖW 04°39'03" A	23:02				23:58	VEN 45 KN1 LÖW 09°34'54" ZWI 24°34'55" AK?												

September 2020



Prognose für SW-Deutschland

aktualisierter Index 3

Vom 1. bis 10. **Eris 0° Apogäum A\***, Am 3./4. **Sonne 0° Orcus H**, Vom 6. bis 12. **Juno 0° Haumea H\***, Auslösung unbekannterAspekte. Vom 13. bis 19. konjunktionfreie Zeit. Vom 21. bis 26. **Mars 0° Apogäum T**, Am 24. und 25. **Sonne 0° GSZ T** und **Merkur 0° Haumea A**, Auslösung unbekannter Aspekte. Vom 2. bis zum 18. tritt **Mars 30° Sedna T** im 1°Exakheitsbereich auf, ohne ganz exakt zu werden!  
 Die rot markierten Aspekte im Index 3 sind Aspekte, bei denen der ursprüngliche Konjunktionsplanet den höheren Rang hat als der Partnerplanet. Das bedeutet, dass der Konjunktionsplanet bei diesen Aspekten immer als Planet 2 auftritt. Diese Aspekte werden ab Januar 2020 nicht mehr angerechnet.

Langsamläufer-Impulse	H*	2H*	H*		2H*		2H*	H*		H*	
Schnellläufer-Impulse	2H	2Tf, 2H	2H, T, Tf		2T, Tf	H, T	2T	2T, Hf		H, T, Tf, 2H	
Temperaturimpulse		K, W	K?, 2W, K				K?	W		W, W?	
Premeteo-Index - zyklonal, + antizyklonal (Index 1+2+3)	21	0	17		1	-16	22	-9		3, 17, -2	
Pre.IX (ALTERNATIV)	14	-18	3		12	-5				14	
Index 1 (12 - 12 UTC) exakte Aspekte des Tages	18	-1	2		5	-12	8	5		3, 5, -14	
Index 1 (ALTERNATIV)		-19								14	
Symmetrien (0 - 0 UTC)	GSZ 4 Son Mak (01) T H?(3,5/1) ... Hau 4 Jun Mer (14) H* A ...	Mar 4op Jun Mer (01) H A ... Ven 149 Jup Nep (19) Tsl K A K A* W* 0/-14 Jun 72 Ven Pal (23) A H* A ...	Ves 149 Jup Nep (10) H* H* A* W* +14 Mer 1op Mar Eri (13) A Tl ... Index !!				Mer 3 Jun Hau (20) A 0 Auslösung Index 3! Son 2 Mak GSZ (23) A T -7	Son 22 Orc Hau (04) T* ... Son 145 Ura Cer (15) T A A* -7	Jun 7op Mar Ura (23) H A* ...	Mer 8op Ura Eri (04) T Tl ... Mer 71 Pal Ves (10) A H A* +7 Ven 121 Mar GaZ (15) A W A T ... Mer 7op Mar Ura (17) A T ...	Hau 60 Ven GaZ (01) A* A* ? Nep 136 Jun Var (04) A* H*(11/3,5) A* +7 Nep 136 Var Mer (05) H*(11/3,5) A K A (+7) Chi 1op Son Mak (14) T H?(4/2) ...
Index 2 (12 -12 UTC)	7	0	14		0	0	0	-14		0, 7, 7	
Index 2 ALTERNATIV	0		0								
ausgelöste Aspekte (= durch Konjunktionen aktivierte Aspekte)	Mar 120 GaZ T-4	Mar 120 GaZ T-4 Ves 45 GSZ H5	Mar 120 GaZ T-4 Ves 45 GSZ H5	Mar 120 GaZ T-4 Orc 45 Hau T-11 Hau 180 Apo H 0+11 Qua 90 GSZ ?* Hau 60 GaZ ?*	Mar 120 GaZ T-4 Orc 45 Hau T-11 Hau 180 Apo H/0 +11 Qua 90 GSZ ?* Hau 60 GaZ ?*	Mar 120 GaZ T-4 Auslösung durch Index 2: Hau 180° Apo H* +13 Jun 30 GSZ H* +5				Vas 45 Mak H5 Jun 30 GSZ H5 Chi 180 Mak H?(4/2) 0/+8	Vas 45 Mak H5 Jun 30 GSZ H5 Chi 180 Mak H?(4/2) 0/+8
Index 3 (Summe)	-4	1	1		-4	-4	14	0		0, 5, 5	
Index 3 ALTERNATIV					7	7					
Symbol-Prognose	2	3	2		3	3	3	3		3, 2, 3	
Wochentag	Mo	Di	Mi		Do	Fr	Sa	So		Mo, Di, Mi	
Datum	21	22	23		24	25	26	27		28, 29, 30	
reale Wetterlage		H5: 3H*, 4H - 2Tf, T / +17		T5: Tf, Tt - 4H*, 1Hf, H / -2				H6: 2H*, 3H - Tf, T / +18			
Luftdruck (hpa) 06 UTC	1016,3	1013,4	1009,4		1008,4	1002,9	1003,4	1001,3		1011,3, 1017,6, 1018,2	
mittl. Temp.(°C)	17,9	19,8	19,3		17,6	11,6	9,7	9,8		10,7, 12,2, 10,2	
Sonnenscheindauer (h)	11,1	7	4,8		0,3	0,1	0	2,3		7, 0, 9	
Niederschlag (Liter)	0	0	0		11,7 / 6	1,2 / 3	7 / 13	0,8 / 9		0,9, 1,3 / 6, 0,1	
Bodenwetterlage 00 UTC (Kernlage des Druckgebiets, das SW-D beeinflusst)	fl Ts ü F, GG, Adria	fl T ü W-D	fl H-p vom W-Mm-Raum		T ü Nsee	T ü Ärmel	T ü Benel	T ü Benel		fl, schm H-Zone zw T ü N-D u T ü N-Adria, T ü Nsee, H ü SW-F, H ü Schweizer Alpen	
Bodenströmung 12 UTC zyklonal (z), antizyklonal (a)	fl a	fl a	fl a		fl z	z	z	z		fl a, a, fl z	
Strömung auf 500 hpa 00 UTC	O fl z	SW fl z	SW z		SW z	SW z	NW z	NW z		NO z, NNW z, NW a	
zutreffende Wettersymbole	2 r	3 r	3-5 f		5 hr	5 r	5 hr	5 hr		3 r, 5 f, 3 r	

02:56 SON 120 SED JUN 28°35'23" STI 28°35'23" H+3	01:14 VEN 150 JUP LÖW 17°32'17" STE 17°32'17" Tl K 0/-8	03:44 SON 150 CER WAA 00°34'46" FIS 00°34'47" H K ? -3	10:54 MER 180 MAR WAA 26°36'48" WID 26°36'47" A	06:08 CER 144 FY9 FIS 00°16'30" WAA 06°16'30" A	01:58 MER 150 SED WAA 28°33'59" STI 28°33'58" A	07:40 MER 120 CER WAA 29°59'55" WAS 29°59'55" A	12:43 SON 144 CER WAA 05°50'50" WAS 29°50'50" A	01:02 VEN 120 MAR LÖW 25°33'37" WID 25°33'39" A W	04:18 VEN 60 EL6 LÖW 26°52'32" WAA 26°52'32" A
05:22 MER 90 PLU WAA 22°31'45" STE 22°31'46" A	03:51 VEN 135 QUA LÖW 17°39'44" STE 02°39'45" H+4/0	05:49 VEN 72 JUN LÖW 18°53'44" SKO 00°53'45" A	13:31 MER 0 HAU WAA 26°44'48" WAA 26°44'47" A	06:39 VES 150 NEP LÖW 19°10'50" FIS 19°10'50" H* +5	05:36 VEN 135 CHI LÖW 22°19'17" WID 07°19'17" T K ? -2	11:14 VEN 144 JUP LÖW 23°44'32" STE 17°44'31" Hf +8	17:35 JUN 60 GAZ SKO 02°41'19" STE 02°41'19" H* +5	01:21 SON 0 MAK WAA 06°21'50" WAA 06°21'50" A	06:06 MER 0 JUN SKO 03°11'20" SKO 03°11'20" A W?
06:28 MER 144 SED WAA 22°35'20" STI 28°35'21" A	06:33 MAR 120 GaZ WID 27°01'41" SCH 27°01'41" T-4	08:07 MER 144 NEP FIS 19°13'57" T W -1	17:00 MER 180 APO WAA 26°55'24" WID 26°55'25" T-2	07:02 SON 90 QUA WAA 02°40'22" STE 02°40'22" H---	09:23 VEN 150 PLU LÖW 22°30'09" STE 22°30'10" A	13:45 SON 60 VAR WAA 04°54'29" LÖW 04°54'30" T-3	19:36 MER 72 PAL SKO 01°39'53" STE 13°39'53" A	10:38 MER 30 GSZ WAA 02°01'19" A	07:27 VEN 120 GaZ LÖW 27°01'40" SCH 27°01'40" A
06:42 VES 150 JUP STE 17°30'59" LÖW 17°30'59" H* +10	11:14 VEN 0 VES LÖW 18°00'45" LÖW 18°00'46" H W +4/0	09:30 VEN 144 PAL LÖW 19°04'15" STE 13°04'16" A	19:04 MER 60 GaZ WAA 27°01'40" SCH 27°01'41" Tl-7	07:46 VEN 45 MAK LÖW 21°16'37" WAA 06°16'36" T-2	15:35 SON 144 URA WAA 04°00'08" STI 10°00'07" T-3	14:48 VEN 60 KN1 LÖW 23°54'49" ZWI 23°54'49" A W	20:24 VEN 150 SAT LÖW 25°20'14" STE 25°20'15" A W	17:16 VES 72 JUN LÖW 21°00'47" SKO 03°00'47" A*	07:47 MER 72 VES SKO 03°15'40" LÖW 21°15'40" H+1
07:19 ERI 60 KN1 WID 24°14'53" ZWI 24°14'53" A*	12:12 MER 120 KN1 WAA 24°11'04" ZWI 24°11'03" A	10:39 MER 90 SAT WAA 25°21'52" STE 25°21'52" H W ---	22:35 MER 45 ORC WAA 27°12'19" JUN 12°12'19" A	12:56 PAL 144 VES STE 13°17'20" LÖW 19°17'20" A*	15:59 JUN 30 GSZ SKO 02°20'19" WAA 02°20'19" H* +5	18:43 MER 60 QUA STE 02°41'39" H+1	16:30 VES 45 MAK LÖW 21°24'05" WAA 06°24'05" H* +5		
15:00 VES 135 QUA LÖW 17°39'39" STE 02°39'40" A*	13:11 MER 180 ERI WAA 24°14'12" WID 24°14'12" Tl-7	12:47 VEN 150 NEP LÖW 19°13'37" FIS 19°13'38" A K	22:51 SON 0 GSZ WAA 02°20'20" WAA 02°20'18" T-6	15:31 GAZ 120 APO SCH 27°01'41" WID 27°01'41" H* +13	18:39 ORC 135 APO JUN 12°16'12" WID 27°16'12" H* 0/+11	20:45 SON 180 CHI WAA 07°09'27" WID 07°09'27" T-6	19:21 VEN 120 APO LÖW 27°36'11" WID 27°36'10" H W +2		
16:16 MAR 135 ORC WID 27°07'51" JUN 12°07'51" A	13:13 JUN 120 CER SKO 00°40'18" FIS 00°40'17" H* +5	13:02 MAR 0 APO WID 26°47'37" WID 26°47'37" Tl-10	15:34 SAT 72 CHI STE 25°20'52" WID 07°20'52" A*	20:31 VEN 120 ERI LÖW 24°11'18" WID 24°11'17" T-2	21:50 MAR 90 SAT LÖW 25°20'16" STE 25°20'16" Tl-10				
21:01 VEN 45 GSZ LÖW 17°20'17" WAA 02°20'18" H +2/0	18:03 HAU 180 APO WAA 26°42'20" WID 26°42'20" H*(9/3/1) +11	14:18 SON 30 JUN WAA 01°00'37" SKO 01°00'38" A	20:49 MAR 180 EL6 WID 26°43'50" WAA 26°43'50" A	21:56 PAL 135 SED STE 13°33'23" STI 28°33'23" A*	23:06 SON 45 VES WAA 05°17'25" LÖW 20°17'25" A				
	22:45 JUN 72 PAL SKO 01°07'30" STE 13°07'30" H* +5								

## September 2020: Fehlprognosen

Datum	Vorzeichen Symbol	Analyse
3.	-13 2 f	Hoch Ismail mit Kernen über der Biskaya, Süddeutschland und Ostalpen. Um 18:41 UTC wurde Sonne 0° Orcus H exakt. Um 22:23 UTC des Vortags war Sonne 135° Saturn T exakt und auf den 3. angerechnet worden, doch schien die Sonne-Orcus-Konjunktion die Konstellation des Tages schon zu beherrschen.
14.	-3 2 hr	Hoch Leiki über den Ostalpen. Mars 180° Juno H / 144° Sonne T. Wegen den fast-exakten Aspekten Mars 30° Sedna T / 120° GaZ T war die Mars-Juno-H-Opposition nicht angerechnet worden. Es zeigte sich, dass sie offensichtlich den stärkeren Lokalbezug hatte, als die höherrangigen Aspekte mit Sedna und GaZ. <b>Flacher Index, einzelner negativer Tag.</b>
16.	-1 2 hr	Hoch über Süddeutschland und Hoch Leiki über der Ukraine. <b>Flacher Index, einzelner negativer Tag.</b>
19.	+3 2-3 r	Tief ex-Alpha über Nordwestspanien. Sehr ruhige, statische Wetterlage. Sonne 150 Apogäum A / 90° Galaktisches Zentrum H machte sich nur in dieser Statik etwas bemerkbar. <b>Flacher Index.</b>
20.	+3 2 hr	Okkludiertes Tief mit Kernen vor Nordwestfrankreich und über dem Löwengolf. Weiterhin angenehm sonniges, spätsommerliches Wetter mit antizyklonalem Charakter. <b>Flacher Index.</b>
21.	+21 2 hr	Flache Tiefdruckkerne über Frankreich, dem Golf von Genua und über der Adria. (Am Folgetag zwei Tf-Aspekte.)
24.	+1 5 hr	Tief Wicca-Valentina mit Kernen bei Irland und über der Nordsee. Nach der Trockenheit der letzten drei Wochen wurde mit dem Exaktwerden des starken Tiefdruck-Aspekts Mars 0° Apogäum Tf am 23. - wie schon im August - ein nachhaltiger Impuls zur Zyklonalisierung gegeben. <b>Flacher Index.</b>
26.	+22 5 hr	Tief Wicca über Benelux. <b>Einzelner positiver Tag.</b> Positiver Index kommt durch eine Merkur-Konjunktionssymmetrie von Merkur mit Juno und Haumea und deren Auslösungen im Index 3, sowie GaZ 120° Apogäum H* am Vortag. Die Zyklonalisierung durch Mars vollzieht sich zwischen Mars 0° Apogäum Tf am 23. und Mars 90° Saturn Tf am 29. September.
30.	-2 3 r	H ü Schweizer Alpen. <b>Flacher Index, einzelner negativer Tag.</b>

## Monatsauswertung (Lahr)

Sep 20

### H-Wetterlagen

	Anzahl der Wetterlagen	Anzahl der Tage	Niederschlag in Liter	H*	Hf	H	T*	Tf	T	L
normal	4	17	2,3 / 6	11	1	18	1	3	7	0
anormal	2	3	3,0 / 0	0	0	1	1	0	5	0
gesamt	6	20	5,3 / 6	11	1	19	2	3	12	0

Verhältnis H/Tage = 31/20 = 1,55  
 Verhältnis T/Tage = 17/20 = 0,85

### T-Wetterlagen

	Anzahl der Wetterlagen	Anzahl der Tage	Niederschlag in Liter	H*	Hf	H	T*	Tf	T	L
normal	4	7	20,7 / 31	4	1	1	0	1	11	0
anormal	1	3	0 / 0	2	0	3	0	0	0	0
gesamt	5	10	20,7 / 31	6	1	4	0	1	11	0

Verhältnis H/Tage = 11/10 = 1,10  
 Verhältnis T/Tage = 12/10 = 1,20

ganzer Monat	Anzahl der Wetterlagen	Anzahl der Tage	Niederschlag in Liter	H*	Hf	H	T*	Tf	T	L
	11	30	26,0 / 37	17	2	23	2	4	23	0

Gesamtzahl H-Aspekte: 42  
 Gesamtzahl T-Aspekte: 29  
 Zahl aller Aspekte: 179  
 Quotient H/T = 1,45  
 Gesamtzahl L-Aspekte: 0

Niederschlag Durbach: s.o. hinter Schrägstrich

r = richtig hr = halbrichtig f = falsch

<b>Symbolprognose in Tagen</b>	12 r 15 hr 3 f
--------------------------------	----------------

<b>Premeteo-Index pro Tag</b>	HWL +115/20 = +5,75	TWL -1/10 = -0,1
-------------------------------	---------------------	------------------

<b>bezüglich des Vorzeichens richtige Tage</b>	21	<b>bezüglich des Vorzeichens falsche Tage</b>	9
------------------------------------------------	----	-----------------------------------------------	---

Bei der Auswertung des Januar 2017 wurde entdeckt, dass im Index 3 möglicherweise nur dann Auslösungsaspekte aktiviert werden, wenn der Konjunktionsplanet einen Aspekt mit einem Planeten bildet, der einen höheren Rang hat als der betroffene Konjunktionsplanet selbst. Dies bestätigte sich im Laufe des ganzen Jahres 2017. Manchmal entstand der Eindruck, dass die im korrigierten Index 3 nicht mehr angerechneten Aspekte auf 500 hpa zum Teil doch anwesend waren. Ab Januar 2018 werden nur noch die im Index 3 korrigierten Prognosen ausgewertet.